

### 3.2 Propiedades Texturales

La Tabla 3.2 presenta los resultados obtenidos sobre las propiedades texturales de los materiales SBA-15 puro, SBA-16 puro, y las réplicas carbonosas. Las áreas específicas de los materiales varían desde 513 a 923 m<sup>2</sup>/g.

Tabla 3.2 Resultados de pruebas texturales de materiales sinterizados

Muestra	Área BET m <sup>2</sup> /g	Área de Microporo m <sup>2</sup> /g	Vol. de Poro	Vol. de Microporo	N <sub>2</sub> máx ads. cm <sup>3</sup> /g
SBA-15	909	260	0.85	0.07	559
SBA-16	971	798	0.45	0.15	294
SBA-15/1S/2I	963	216	0.87	0.10	584
SBA-16/1S/2I	621	191	0.46	0.09	308
SBA-15/1.25S/1I	1002	112	0.87	0.05	578
SBA-16/1.25S/1I	773	163	0.54	0.08	356
SBA-15/1.25S/2I	823	170	0.62	0.08	412
SBA-16/1.25S/2I	806	436	0.41	0.11	274
SBA-15/1S/2I/V	919	137	0.83	0.07	560
SBA-16/NTC/NiMo	49	-7	0.20	-0.004	166
SBA-16/NTC/NiMo/G	22	4	0.10	0.002	84

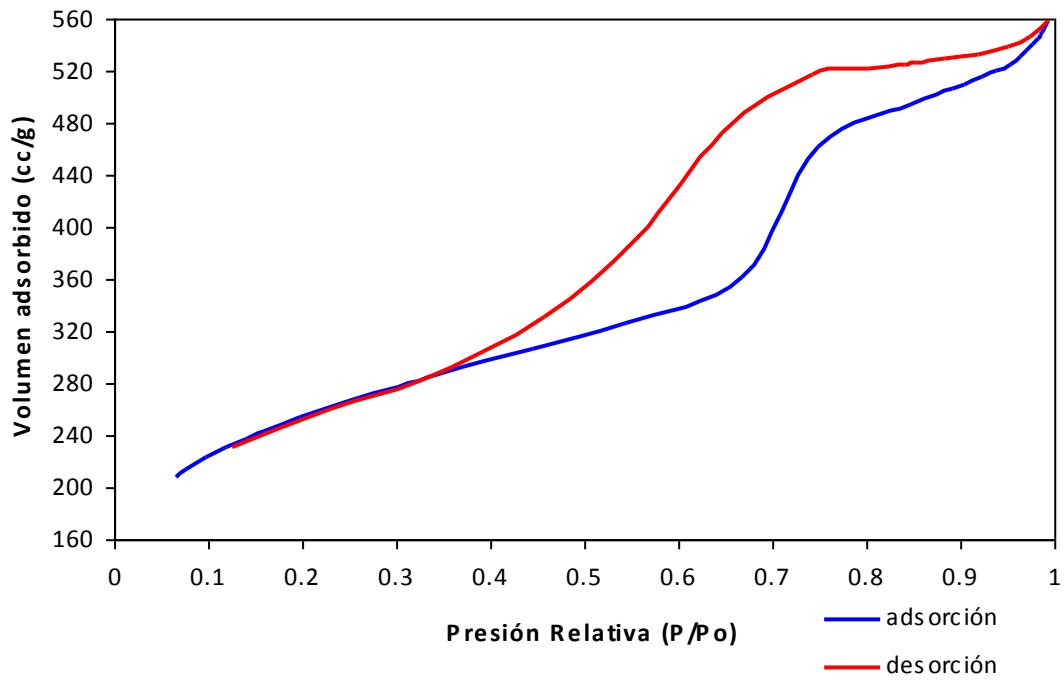


Figura 3.13 Isotherma de adsorción-desorción de Nitrógeno para el material SBA-15.

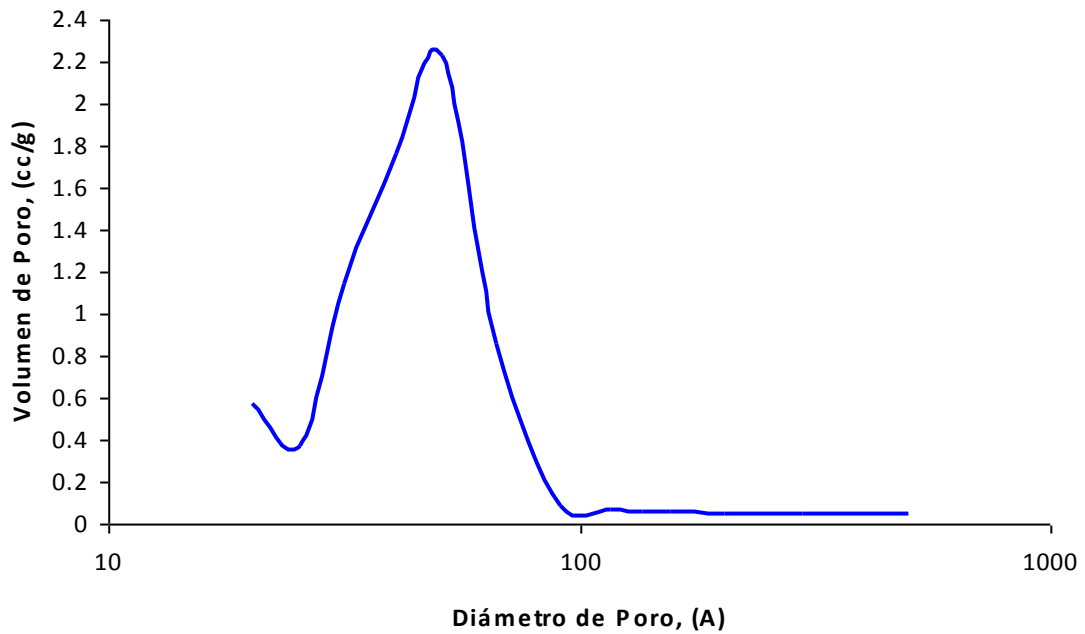


Figura 3.14 Diámetro de poro característico del soporte SBA-15.

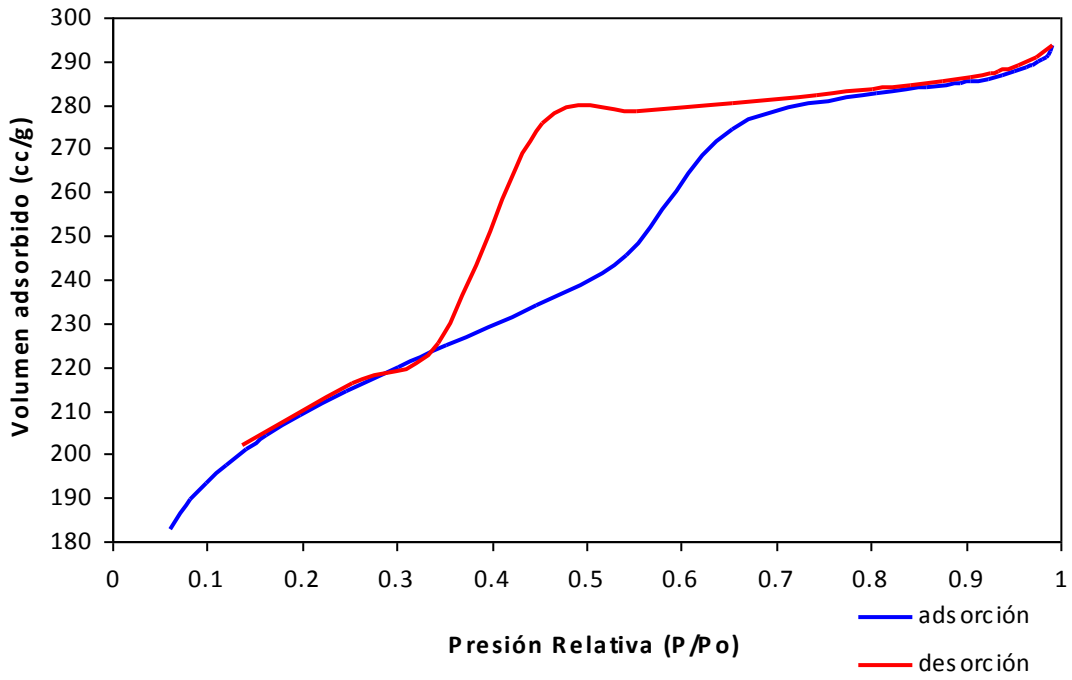


Figura 3.15 Isotherma de adsorción-desorción de Nitrógeno para el material SBA-16.

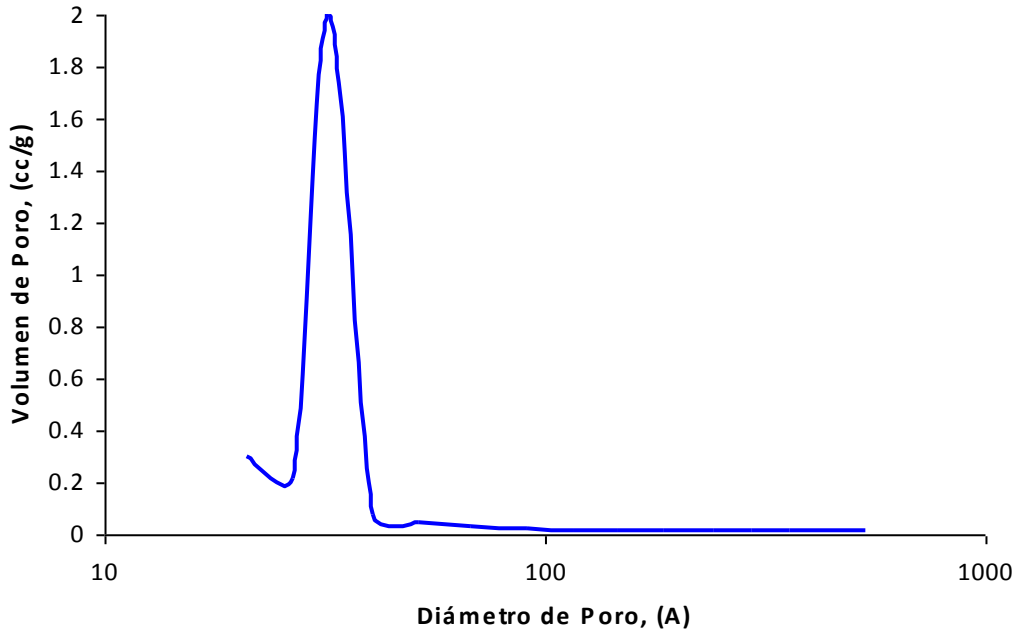


Figura 3.16 Diámetro de poro característico del soporte SBA-16.

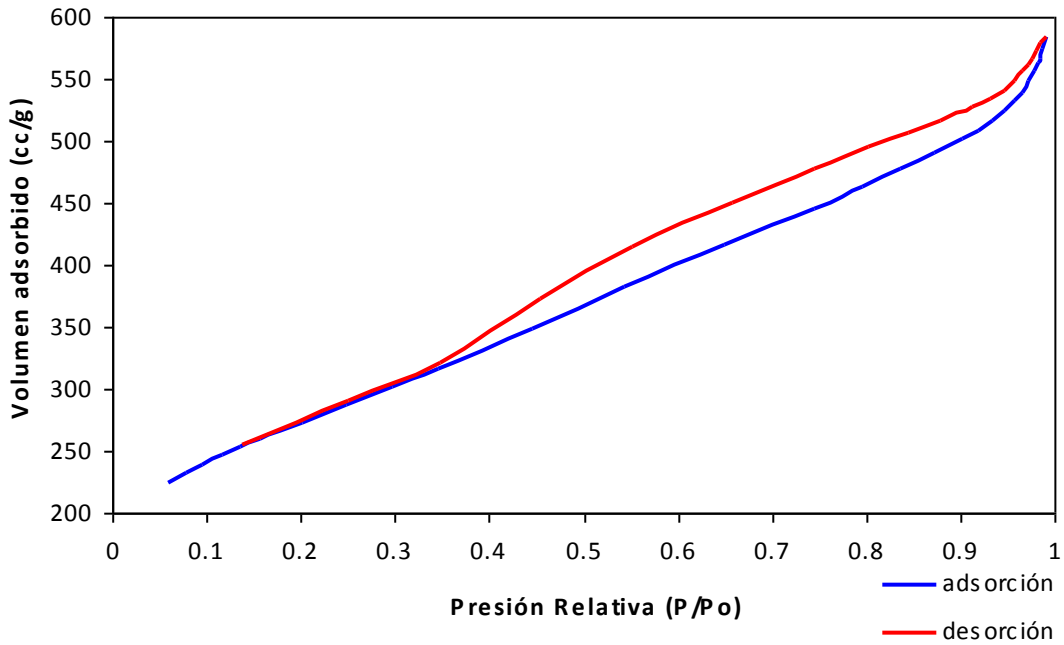


Figura 3.17 Isoterma de adsorción-desorción de Nitrógeno para el material SBA-15/1S/2I.

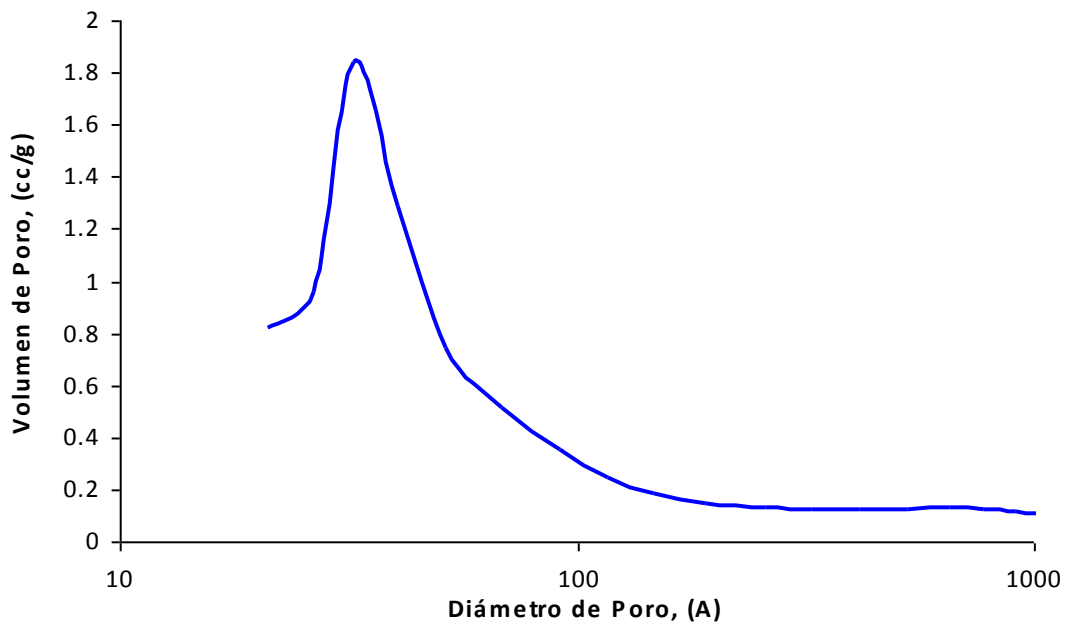


Figura 3.18 Diámetro de poro característico del material SBA-15/1S/2I.

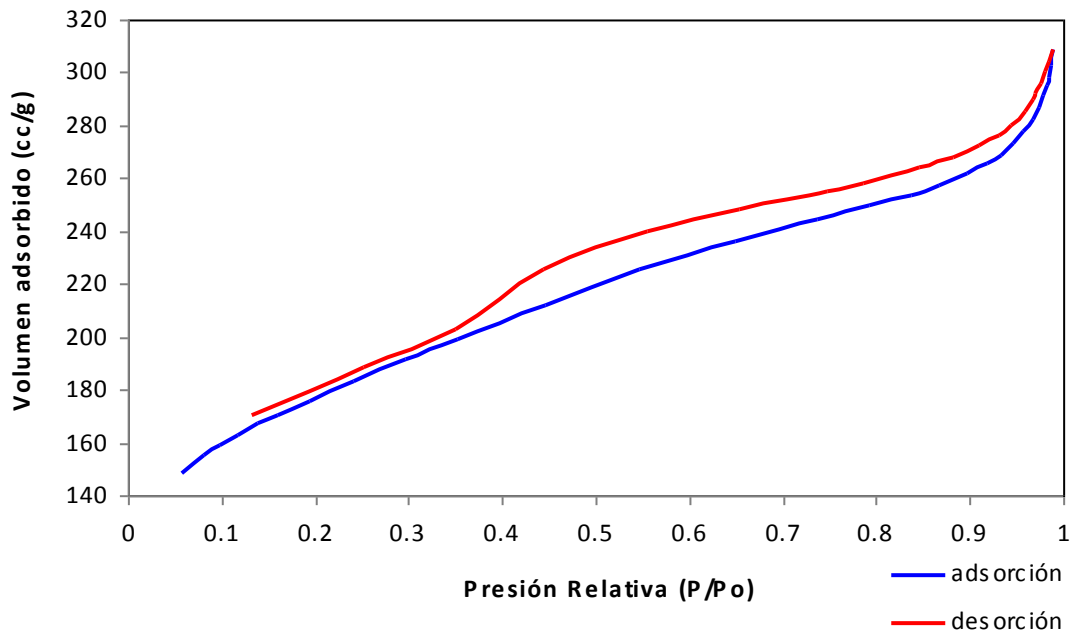


Figura 3.19 Isotherma de adsorción-desorción de Nitrógeno para el material SBA-16/1S/2I.

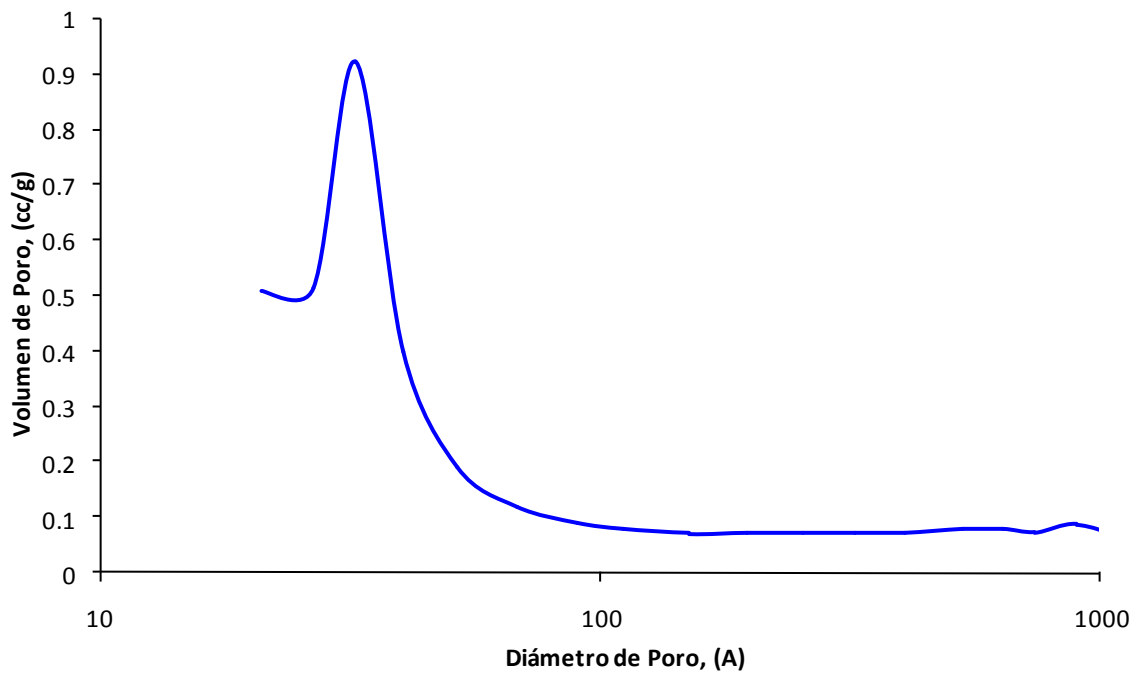


Figura 3.20 Diámetro de poro característico del material SBA-16/1S/2I.

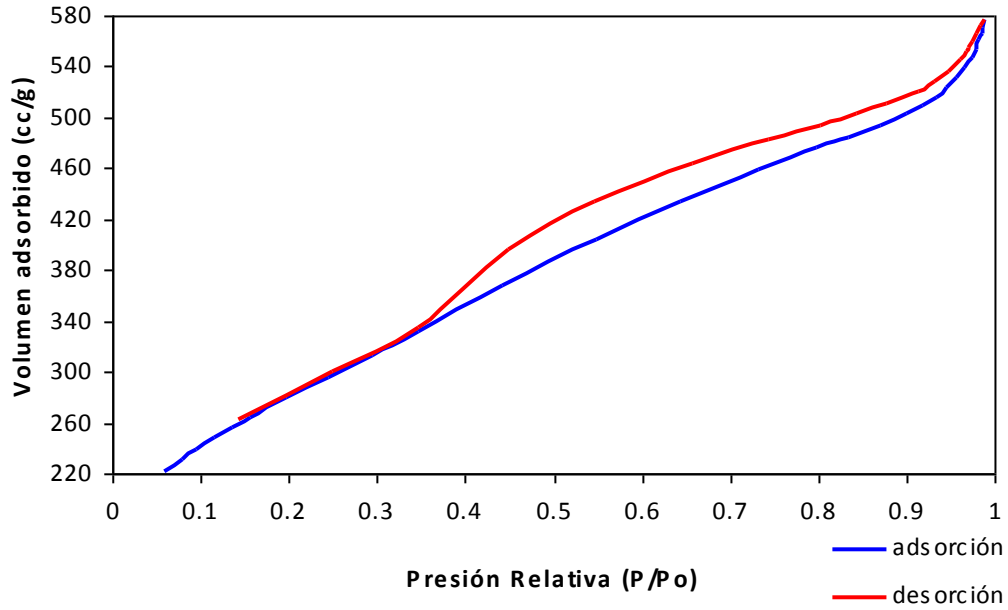


Figura 3.21 Isotherma de adsorción-desorción de Nitrógeno del material SBA-15/1.25S/II.

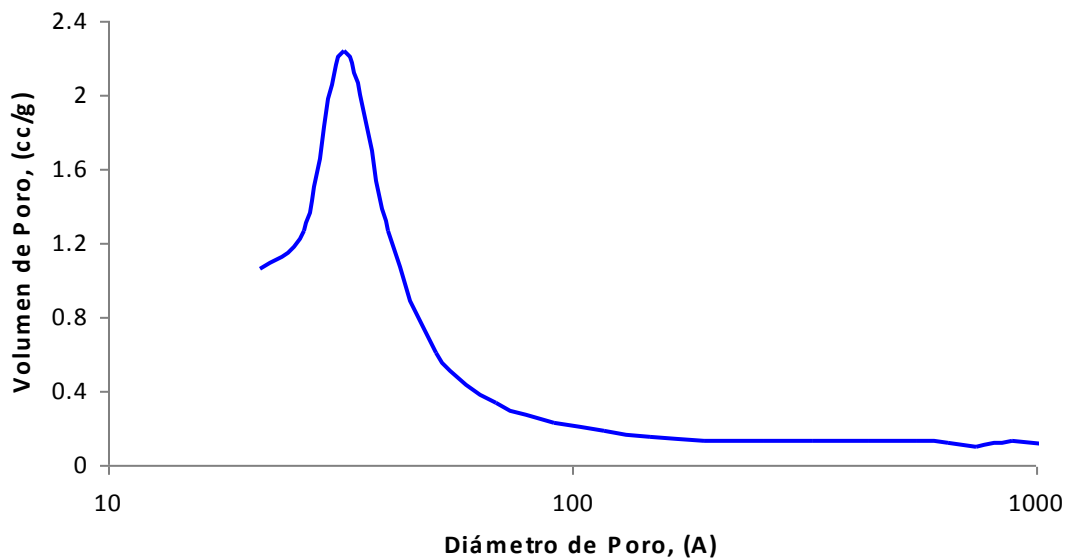


Figura 3.22 Diámetro de poro característico del material SBA-15/1.25S/II.

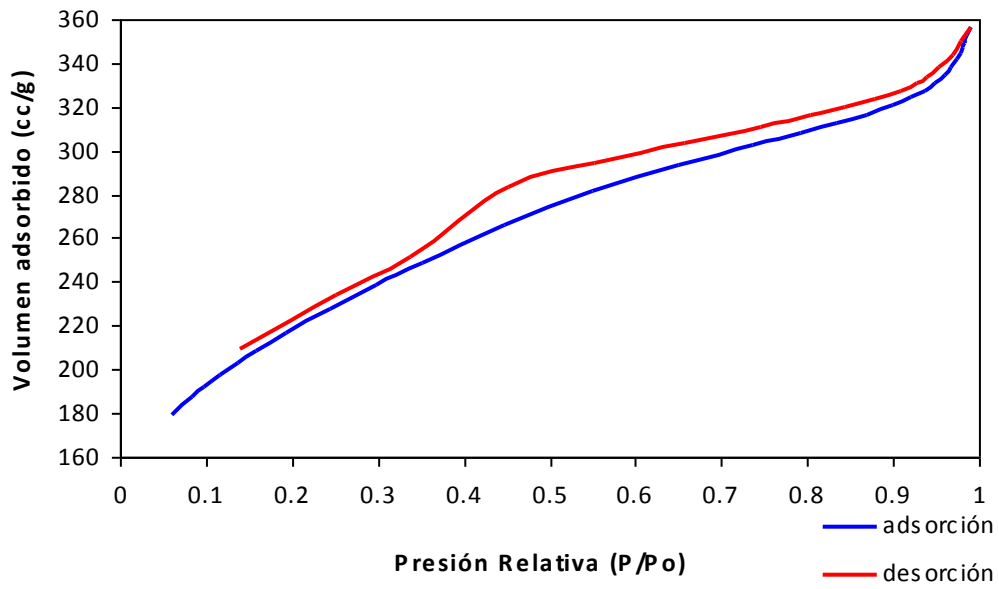


Figura 3.23 Isotherma de adsorción-desorción de Nitrógeno del material SBA-16/1.25S/II.

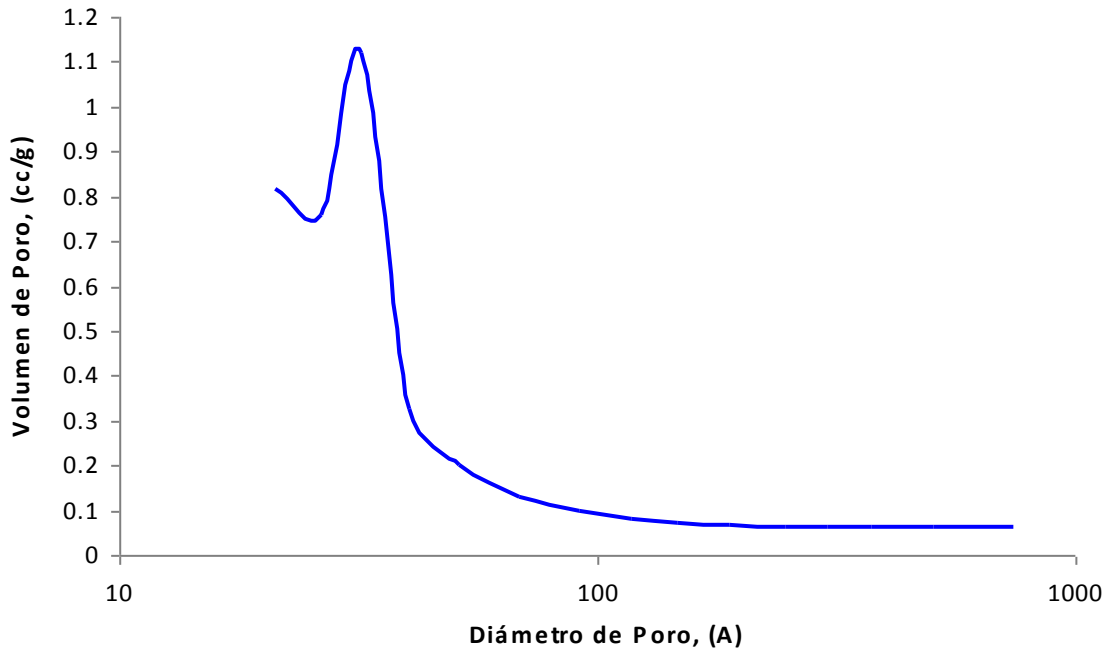


Figura 3.24 Diámetro de poro característico del material SBA-16/1.25S/II.

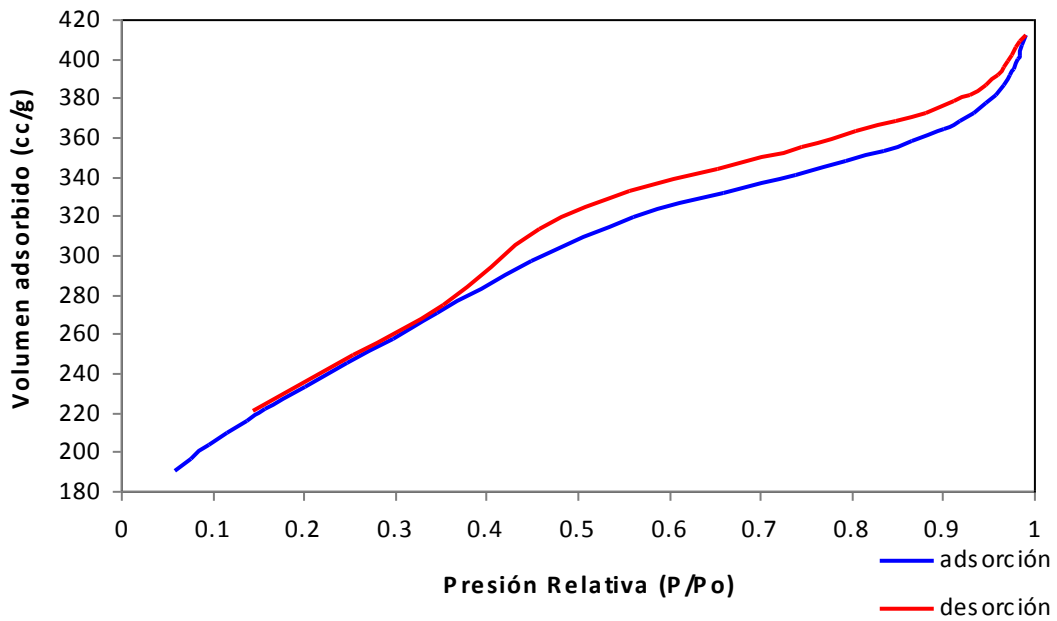


Figura 3.25 Isoterma de adsorción-desorción de Nitrógeno del material SBA-15/1.25S/2I.

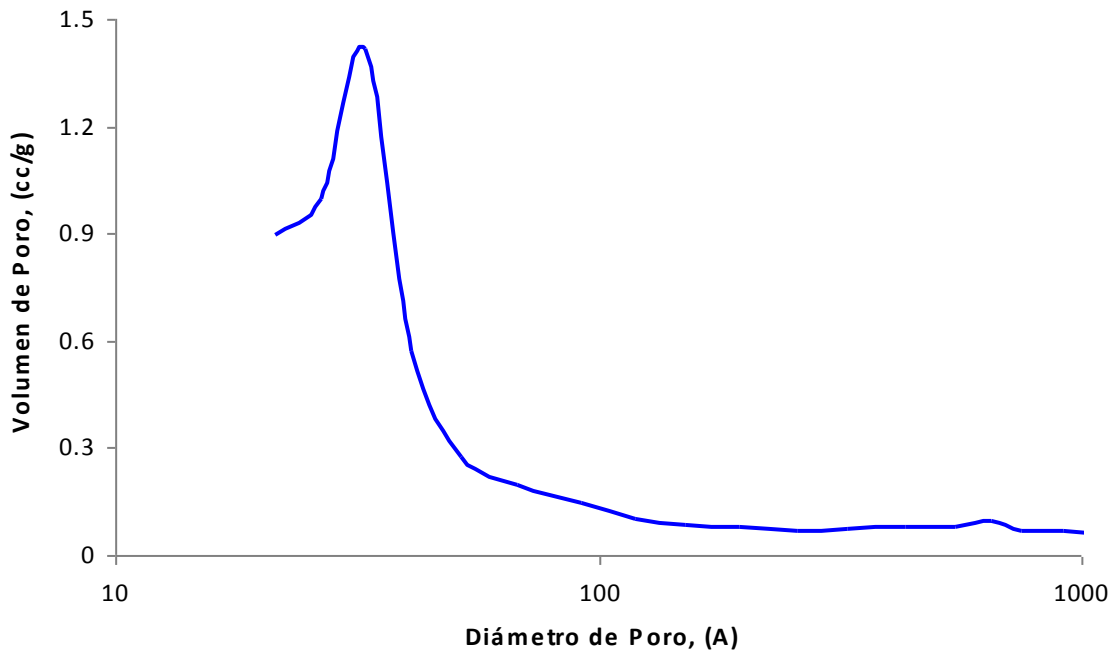


Figura 3.26 Diámetro de poro característico del material SBA-15/1.25S/2I.



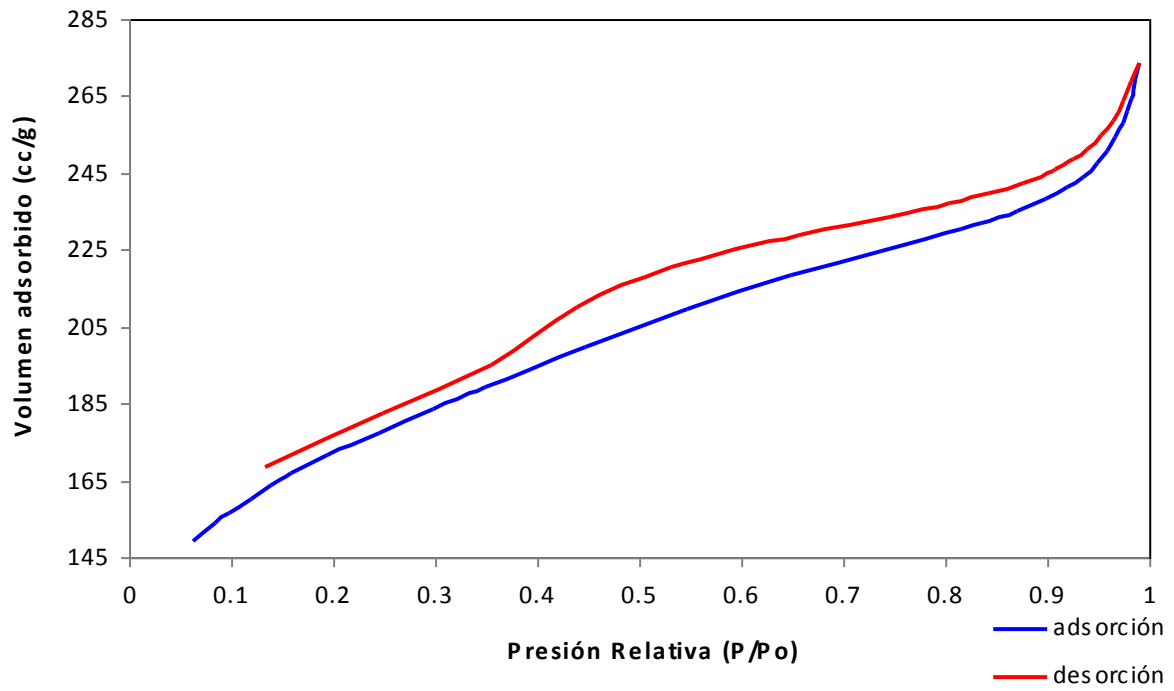


Figura 3.27 Isoterma de adsorción-desorción de Nitrógeno del material SBA-16/1.25S/2I.

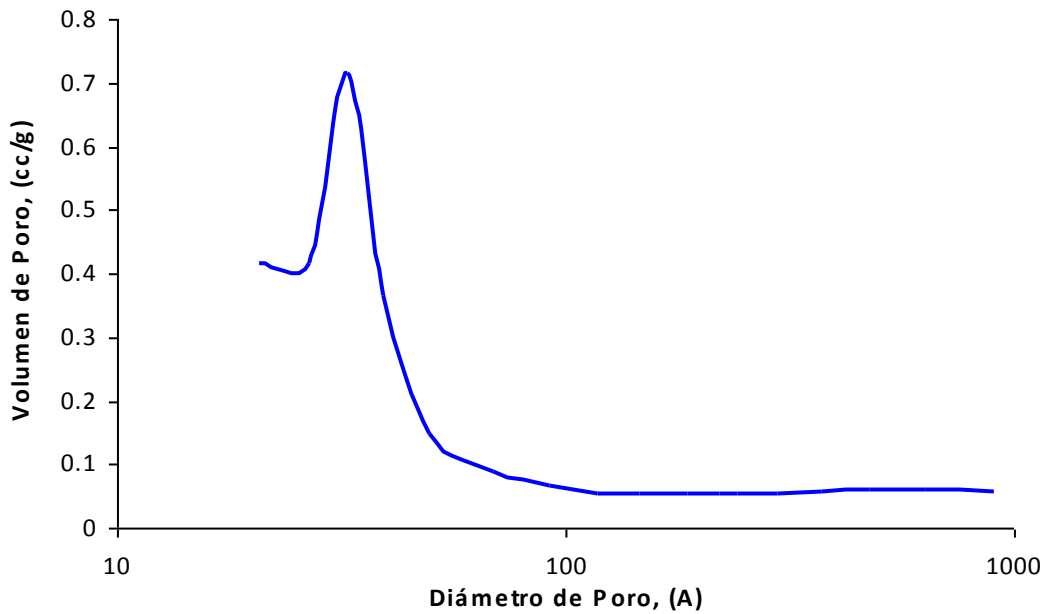


Figura 3.28 Diámetro de poro característico del material SBA-16/1.25S/2I.

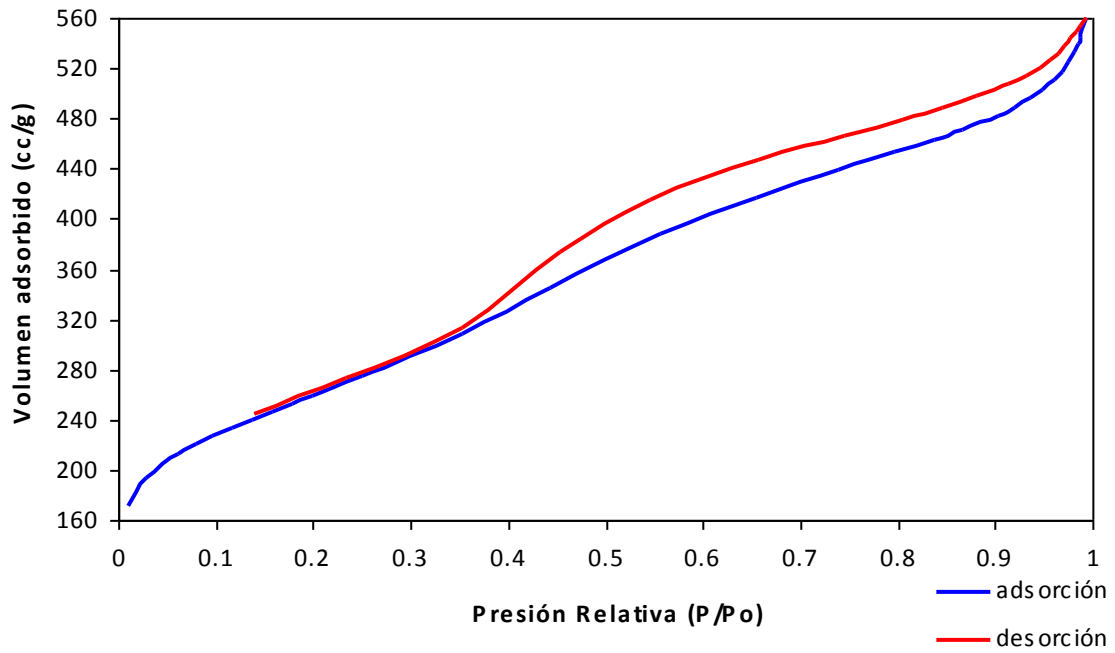


Figura 3.29 Isotherma de adsorción-desorción de Nitrógeno del material SBA-15/1S/2I/V.

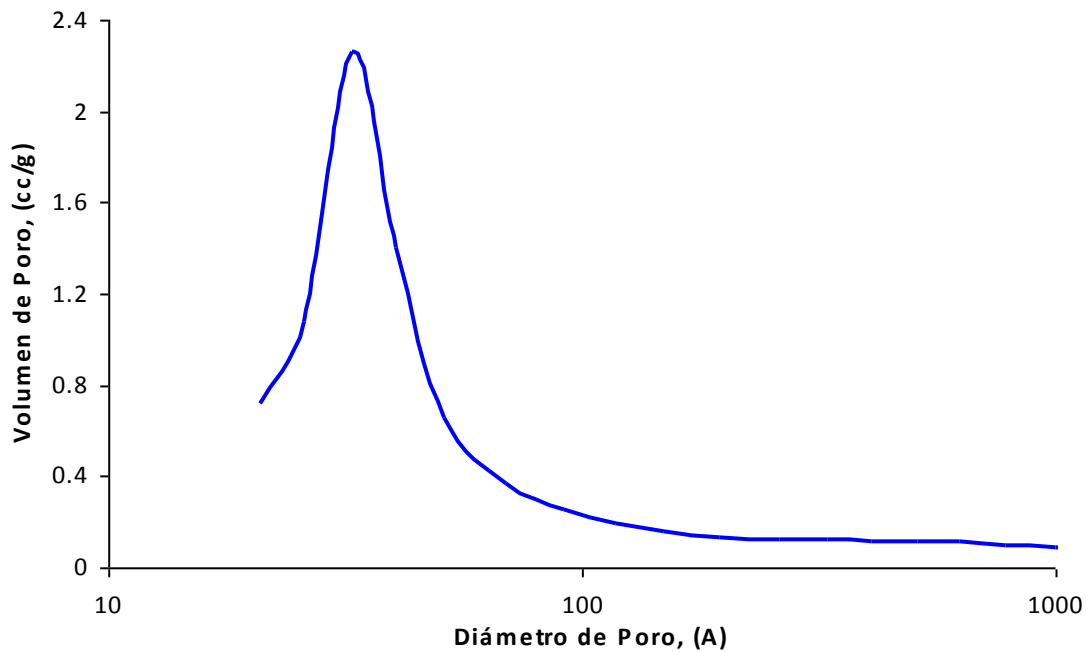


Figura 3.30 Diámetro de poro característico del material SBA-15/1S/2I/V.

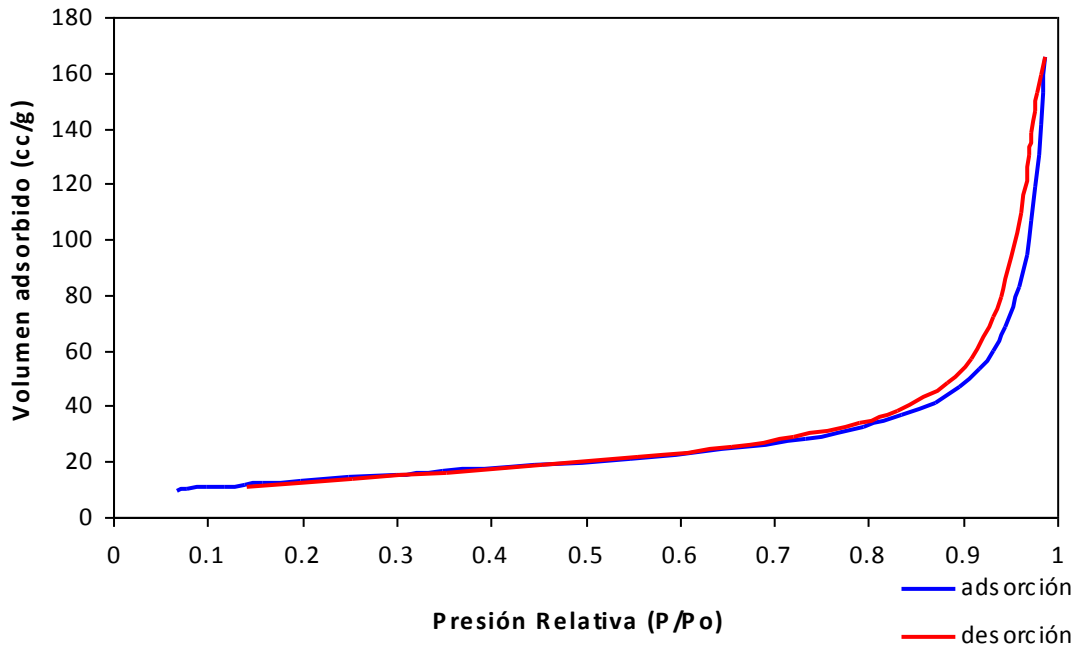


Figura 3.31 Isotherma de adsorción-desorción de Nitrógeno del material SBA-16/NTC/NiMo.

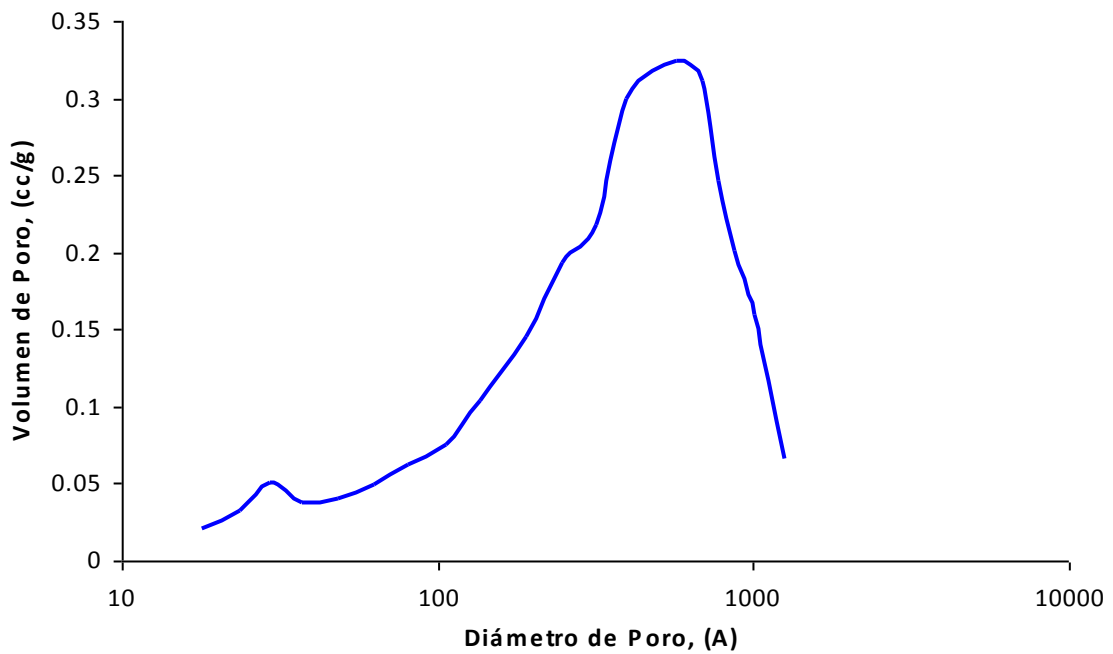


Figura 3.32 Diámetro de poro característico del material SBA-16/NTC/NiMo.

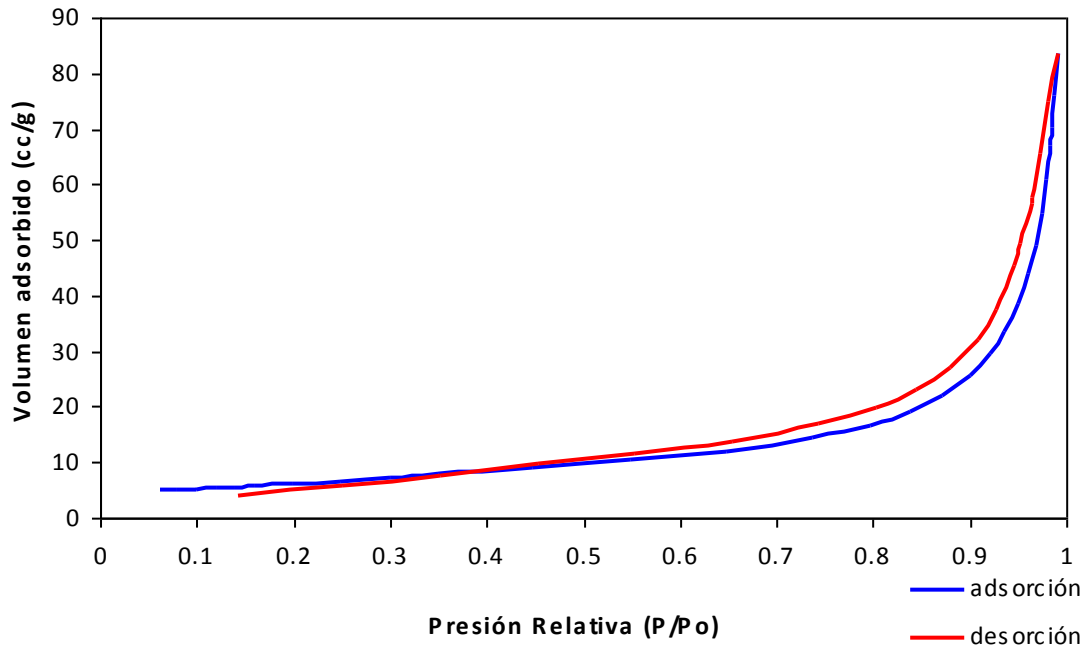


Figura 3.33 Isotherma de adsorción-desorción de Nitrógeno del material SBA-16/NTC/NiMo-G.

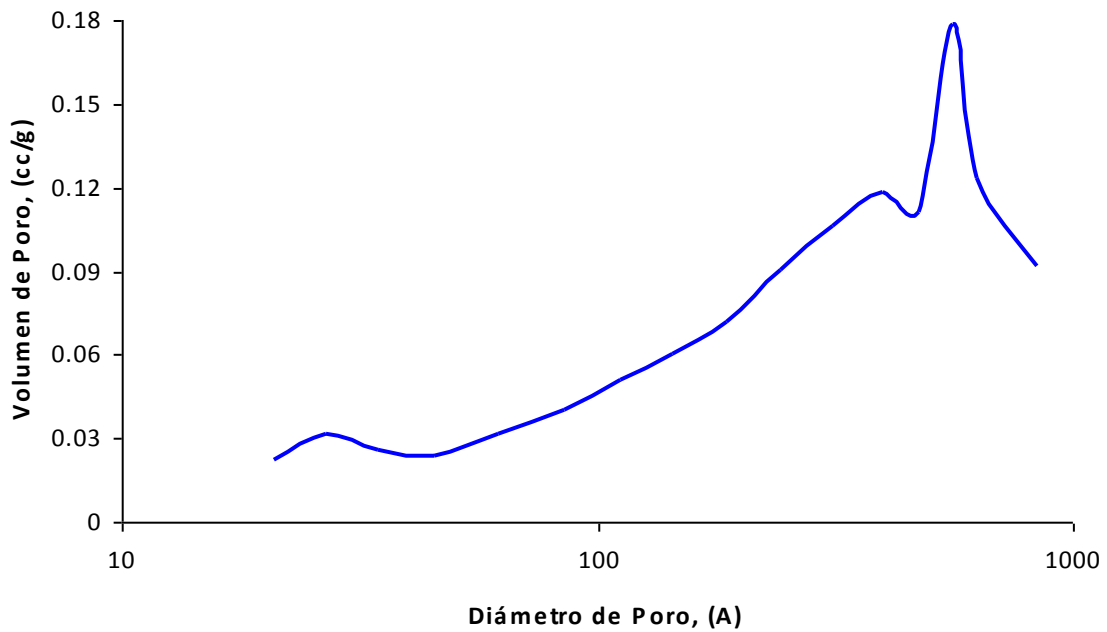


Figura 3.34 Diámetro de poro característico del material SBA-16/NTC/NiMo-G.

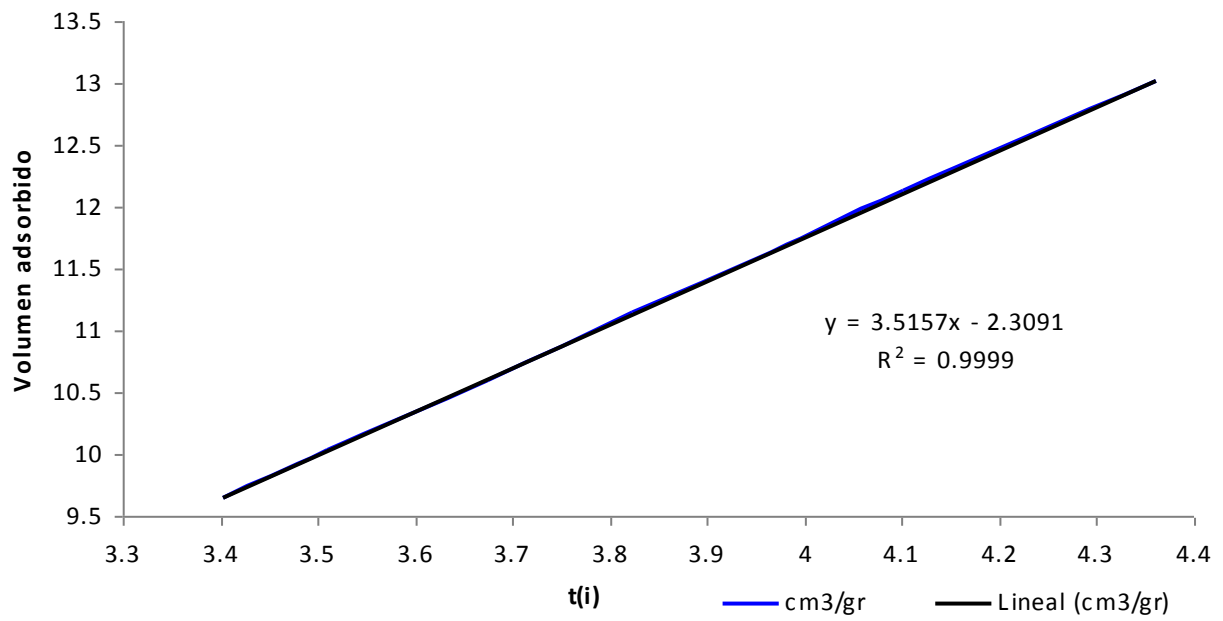


Figura 3.35 Gráfica de correlación para área de microporo de SBA-16/NTC/NiMo.

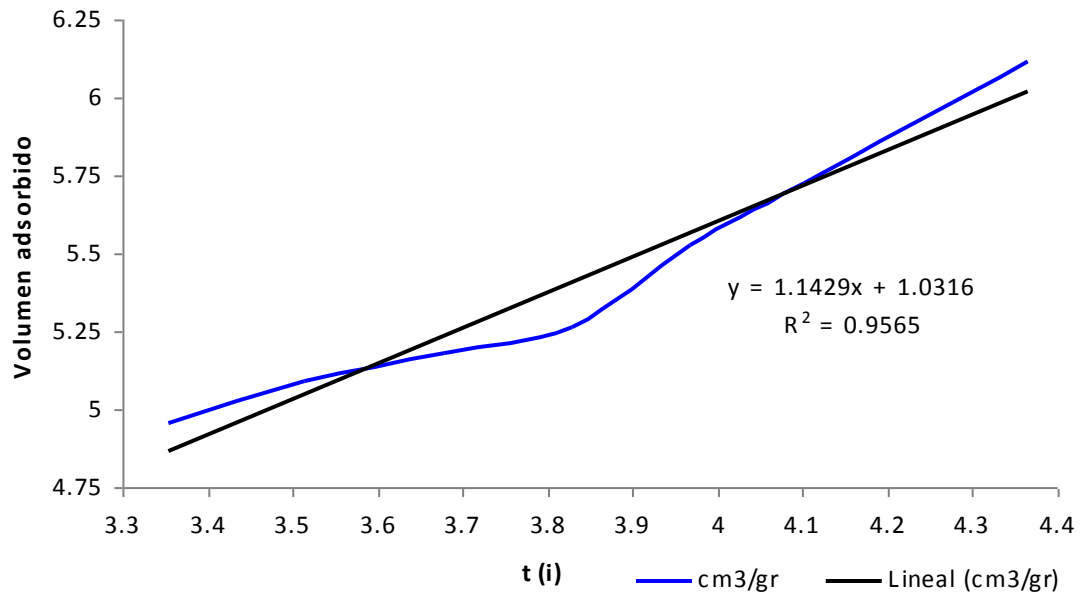


Figura 3.36 Gráfica de correlación para área de microporo de SBA-16/NTC/NiMo-G.